

## (295) 溶銑脱硫時における CaO粒内の硫黄の挙動

大阪大学 工学部	○ 上田早瀬	浦雅之 (現 川崎製鉄㈱)
大阪大学 大学院	北川	逸朗 (現 新日本製鉄㈱)
大阪大学 ノ		
大阪大学 工学部	森田	善一郎

[緒 言] 溶銑脱硫時における CaO系フラックスの挙動解析や、その速度論的考察を行うためには、固体 CaO内の硫黄の移動速度、および溶銑脱硫時に溶銑成分と平衡する CaO粒界面での硫黄濃度を知ることが重要であると考えられる。しかし従来、これらに関する実測値の報告例はない。

そこで著者らは、溶銑中を浮上する CaO一粒子をモデルとした CaO圧粉体を用い、CaO粒内の硫黄の見掛けの拡散係数を求めるとともに、溶銑-CaO粒間の硫黄の分配比を求め、CaOを用いた溶銑の脱硫挙動の検討を行った。

## [実験方法]

## 1) 拡散モデル実験

溶銑脱硫時において溶銑中の硫黄と反応した CaO粒表面はすべて反応生成物である CaSで覆われていると仮定し、CaS層を圧着させた CaO圧粉体を溶銑温度に保持することにより、拡散実験を行った。実験は Ar雰囲気、1673K に保持された炉内に圧粉体試料を所定時間挿入することにより行った。その後試料を急冷し EPMA分析によって断面の硫黄の濃度分布を測定することにより、CaO粒内の硫黄の見掛けの拡散係数を求めた。

## 2) 溶銑脱硫モデル実験

溶銑試料は、所定の C, Si, Mn, S 濃度になるよう溶製した電解鉄を用いた。脱硫実験は高周波誘導炉を用い、1673 Kに保持した 0.1kg の溶銑試料に CaO圧粉体を 14400s (4hr) 浸漬させ、その後 CaO圧粉体を溶銑より引き上げ急冷するとともに、石英管にて溶銑を速やかに吸引採取し、

それぞれを EPMA、化学分析により各成分濃度を決定した。

## [実験結果] 拡散実験結果の一例として、

172,800s(48hr)保持後の CaO単味圧粉体試料内の硫黄濃度分布の測定結果を Fig.1 に示す。この結果より界面での硫黄の見掛けの拡散係数を求めるとき、 $1 \times 10^{-13} (\text{m}^2/\text{s})$  となった。また同様の方法により CaO-5mol%CaF<sub>2</sub> および CaO-10mol%CaF<sub>2</sub> フラックス内の硫黄の見掛けの拡散係数を求めるとき、それぞれ  $5 \times 10^{-12} (\text{m}^2/\text{s})$  と  $1 \times 10^{-11} (\text{m}^2/\text{s})$  の値を得た。

脱硫実験結果の一例として硫黄の分配比 (L<sub>s</sub>) に対する溶銑中 Si 濃度の影響を Fig.2 に示す。図より、L<sub>s</sub> は Si 濃度の増加によりわずかに増加し、その程度は、溶銑中の S 濃度が低いほど大きいことがわかる。これより、Si の L<sub>s</sub> に対する影響は溶銑中の S 濃度によって左右されることがわかった。したがって低硫黄鉄の場合、Si の存在は脱硫に有利であるが、高硫黄鉄においては Si の影響は小さいと推定される。

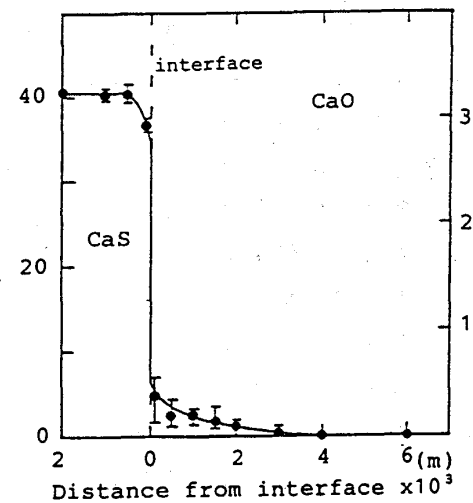


Fig.1 Concentration profile of sulphur in CaO compact after 172,800s at 1673K.

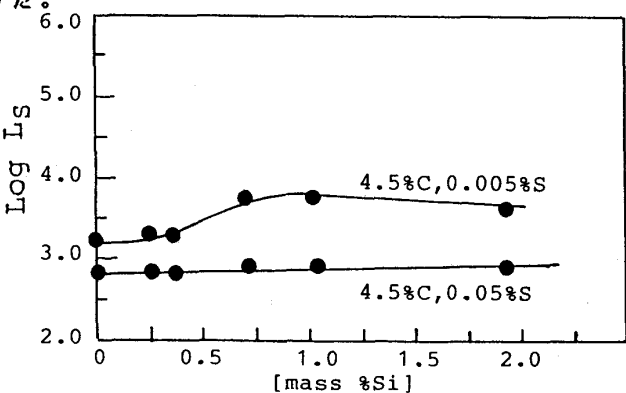


Fig.2 Relation between log L<sub>s</sub> and [mass%Si].